

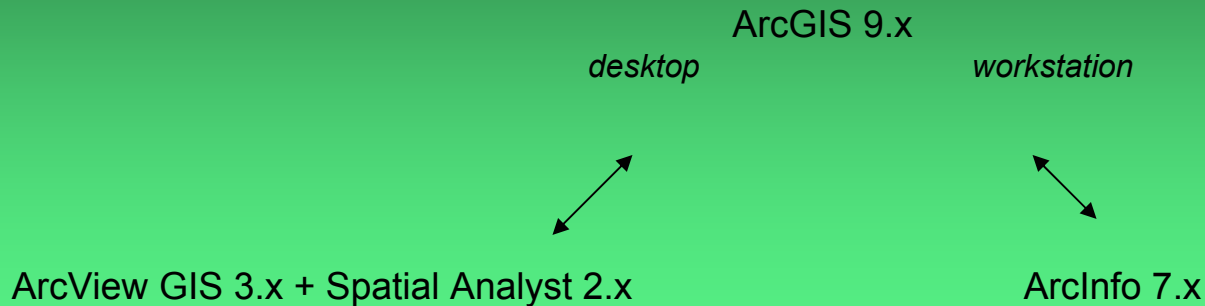
Srovnání možnosti modelování povrchového odtoku v systémech IDRISI a Arc-ESRI

Vilém PECHANEC

Správa CHKO Bílé Karpaty

Programové prostředky

Arc-ESRI sdružené označení pro sw od fy ESRI Inc.



mezi příslušnými verzemi není v algoritmech a funkcích pro hydrologického modelování žádný významný rozdíl

IDRISI IDRISI 32p , IDRISI KILIMANJARO

silné GIS produkty s velkým množstvím funkcí a vlastním makro jazykem

Tvorba hydrologicky korektního DEMu

Digitální elevační model = rastrové vyjádření průběhu gradientu nadmořské výšky.

Hydrologicky korektní DEM = umožňuje hydrologické modelování; má ošetřeny fiktivní deprese a lokální vyvýšeniny (Hudchinson, 1993 In. Esri, 1997).

Výpočet hydrologicky korektního DEMu je založen na speciální variantě interpolační metody *Spline*, která mimo jiné optimalizuje výpočet a povoluje prudké změny v reliéfu terénu a aplikuje algoritmy pro výpočet odvodnění. Takto počítaný model má odstraněny nepravé sníženiny (*pit, sink*) a vyvýšeniny (*peak*).

Zdrojová data pro DEM - není vhodné DEM generovat pouze z jednoho datového souboru, nejlepších výsledků je možno dosáhnout kombinací několika různých souborů; body (kóty), linie (vrstevnice, rozvodnice), plochy (vodní plochy).

IDRISI

nástroje pro tvorbu DEM:

TIN, INTERCON
INTERPOL

nástroje pro hydrologické ošetření povrchu:

PIT REMOVAL

ArcESRI

TOPOGRID

create surface *In: Spatial/3D Analyst*
Hydro for AV 3.x; by ESRI,
HEC-GeoHMS ; by CWRW

TOPOGRID, SINK

Stanovení směru povrchového odtoku (1/3)

Drtivá většina GIS nástrojů pracuje s algoritmem nejstrmější cesty.
Existuje několik variant výpočtu, nejčastěji používaná je metoda D8.

Ke stanovovanému pixelu se najde jeho 8 nejbližších sousedů a na základě vstupujícího DEMu se počítá rozdíl mezi hodnotami nadmořských výšek mezi jednotlivými středy pixelů ku vzdálenosti jednotlivých středů (Jenson S. K. and J. O. Domingue. 1988)

IDRISI
nástroje pro stanovení směru odtoku:
FLOW

ArcESRI
FLOWDIRECTION

Také několik hydrologických modelů, zejména ty které se orientují na simulaci odtoku v korytě.

Výrazně zkresluje / znehodnocuje možnost sledování objemu odtoku v povodí.

Stanovení směru povrchového odtoku (2/3)

V krajině je to však jinak.

Voda se roztéká z jednoho místa do více směrů určitým objemovým procentem.

Řešením je aplikovat výpočet, který vychází ze stanovení topografického indexu (Quinn, 1991).

$$A_i = A \frac{\text{tg } \beta_i \cdot L_i}{\sum_{j=1}^k \text{tg } \beta_j \cdot L_j}$$

kde A_i = podíl zdrojové oblasti k sousedu i (m^2),

A = oblast po svahu nahoru možná pro dotaci přítoku (plocha zdrojové oblasti) (m^2)

β_i = sklonový gradient (=rozdíl ve sklonu) směrem k sousedu i

L_i = váhový faktor (0,5 pro přímý a 0,354 pro diagonální směr)

k = počet nižších sousedů

Základní přínos algoritmu spočívá v tom, že dělí odtékající objem mezi několik příjemců.

Dnes je úspěšně implementován v několika hydrologických modelech, např. **TOPMODEL** (Beven et al., 1995).

Stanovení směru povrchového odtoku (3/3)

Implementace v prostředí GIS

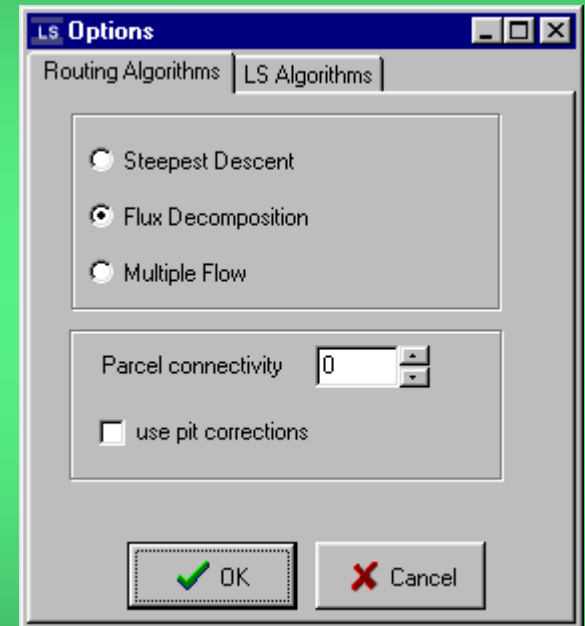
V komerčních produktech byl první a zatím takřka jediný modul **USLE 2D**

Labo For Experimental Geomorphology
University of Leuven, Belgium

<http://www.kuleuven.ac.be/facdep/geo/fgk/pages/expgeom.htm>

Jedná se o samostatně běžící aplikaci,
napsanou na jádře systému IDRISI.

- vstupním i výstupním formátem je pro něj formát IDRISI a formát sw. SURFER.
- obsahuje převodník mezi formáty 16 a 32-bitových verzí.



V prostředí ArcGIS nic takového není, objevují se ojedinělé řešení za využití jazyka AML
v ČR asi jediný model LOREP

Délka odtoku

Délka odtoku = funkce směru odtoku a velikosti pixlu

algoritmus počítá kolika pixely voda proteče a jejich počet násobí velikostí pixlu

- u jednosměrného odtoku - počítána z jediného směru
- u vícesměrného odtoku - je vhodné počítat délku/směr toku podle objemově největšího odtoku z každého pixelu

IDRISI

nástroje pro stanovení délky odtoku:

nemá příkaz

možno řešit kombinací příkazů FLOW
a techniky moving-window

ArcESRI

FLOWLENGTH

Stanovení akumulace odtoku (1/2)

Akumulace odtoku je založena na postupném načítání pixelů odtékajících do každého pixelu, právě počítaný pixel se do součtu nezahrnuje.

- **pixely s vysokou hodnotou** akumulace představují plochy koncentrace - mohou sloužit k identifikování odtokových linií.
- **pixely s nulovou akumulací** lze použít k určení rozvodnice.

nástroje pro stanovení akumulace:

IDRISI
RUNOFF

ArcESRI
FLOWACCUMULATION

Stanovení akumulace odtoku (2/2)

Při výpočtu je používán i odvozený směr odtoku

= > je-li použit jednosměrný odtok, hodnoty akumulace se již na třetím řádu (od rozvodnice) výrazně liší ve srovnání a akumulací při použití vícesměrného odtoku,

= > dochází ke změně délky odtoku a posloupnosti při načítání hodnot pixelu,

(Malenovský, Pechanec, 2002).

V uzávěrovém profilu povodí (posledním pixelu) se hodnoty sobě blíží ... avšak jen za předpokladu, že do procesu nevstupuje žádný retenční (váhový, retardační, ...) faktor.

V takovém případě (a to je při modelování skoro vždy) je vhodnější vytvořit vlastní **iterační rutinu**, který hlídá proces postupného výpočtu odtoku.

Váhový (=retenční) faktor

Doposud byl zvažován ideální (a tudíž teoretický) odtok.
V krajině je to opět jinak, povrch je různorodý, liší se svou drsností, sklonem, teplotou...

Při modelování odtoku po (skoro reálném) povrchu, je potřeba zavést váhový faktor, který představuje vliv aktuálního/aktivního povrchu na odtok (retence, retardace, akumulace).

Rastrové prostředí je velmi vhodné a otevřené pro zavedení „váhového“ gridu (Maidment, 1992).

Retenční funkce krajiny je plně popsatelná matematickým aparátem (Kovář, 1993, 1996).

= > rastrové pojetí zvolených programů a jejich silné makrojazyky poskytují dostatečnou možnost pro zavedení odpovídajícího váhového faktoru a kvalitní modelování.

Před modelováním je třeba dobře znát účel práce a mít jasně definovaný cíl a na jeho základě zvolit vhodnou sadu hydrologických rovnic.

autorský model **LOREP**

Použité řešení

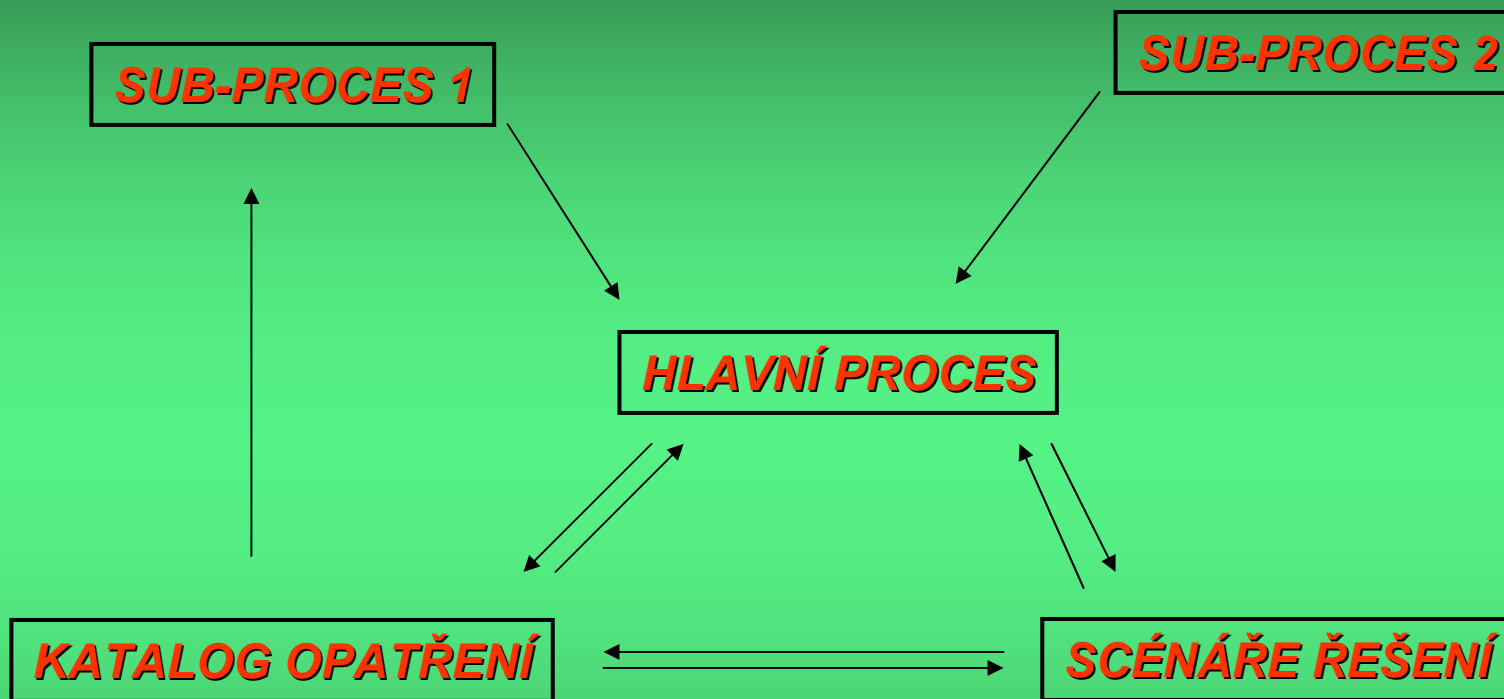
jazyk AML v prostředí systému ARC/INFO

```
tables
sel xv1.pat
calculate xv1-id = 3
sel povodi.pat
calculate povodi-id = 99
update xv1 povodi xv2
q
grid
/*hranice povodi se musí jmenovat povodi
  xtmp2 = update xtmp1 vodotec
  xtc2 = polygrid xtmp2m (convert to grid)
xt3 = xt1 + xt2
xt4 = reclass (tmp3, tc.rmp) (4 3;5 3;100 1;101 2)
/*stanoveni doby koncentrace
DOCELL
if (xt eq 1)
xtc7 = (0.007 * pow(((xnn * 5) / 0.3048), 0.8)) / (pow((100 / 25.4), 0.5) * pow(xss,
0.4))
else if (xt eq 2)
xtc7 = 5 / (3600 * (4.97 * pow(xss, (1 / 2))))
else if (xt eq 3)
xtc7 = 5 / (3600 * ((1 / xnn) * pow(100, (2 / 3)) * pow(xss, (1 / 2))))
END
```

metoda CN křivek

jednotkový hydrogram dle Clarka

Struktura aplikace LOREP



Modelace objemu územně specifikovaného aktuálního přímého odtoku

Kaskádový kumulační model pro stanovení objemu přímého odtoku

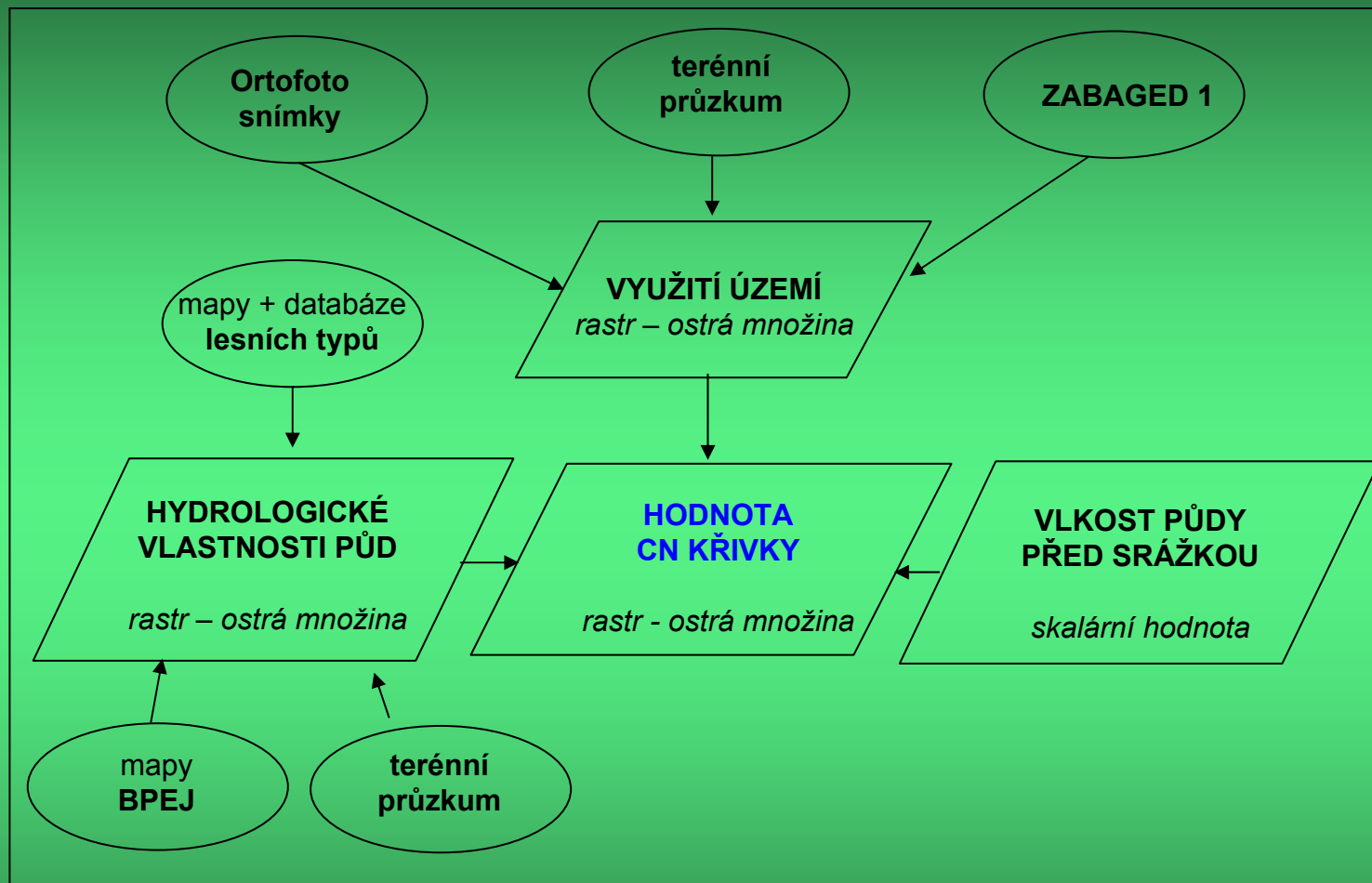
=modifikovaný algoritmus metody CN-křivek pro stanovení objemu přímého odtoku

Principem “kaskády” je stanovení výšky resp. objemu přímého odtoku, pro každý pixel v povodí, dle základní rovnice s rozšířením o vliv konfigurace terénu na směr a délku odtoku, která se projevuje v rozdělení povodí do jednotlivých iteračních řádů.

Model umožňuje:

- stanovit objem přímého odtoku pro jednotlivé pixely = homogenní subpovodí,
- sledovat směr povrchového odtoku v krajině,
- specifikovat vliv topologie a prostorové orientace,
jednotlivých složek krajiny, včetně líniových prvků, na přímý povrchový odtok.

Odvození rastru CN křivek



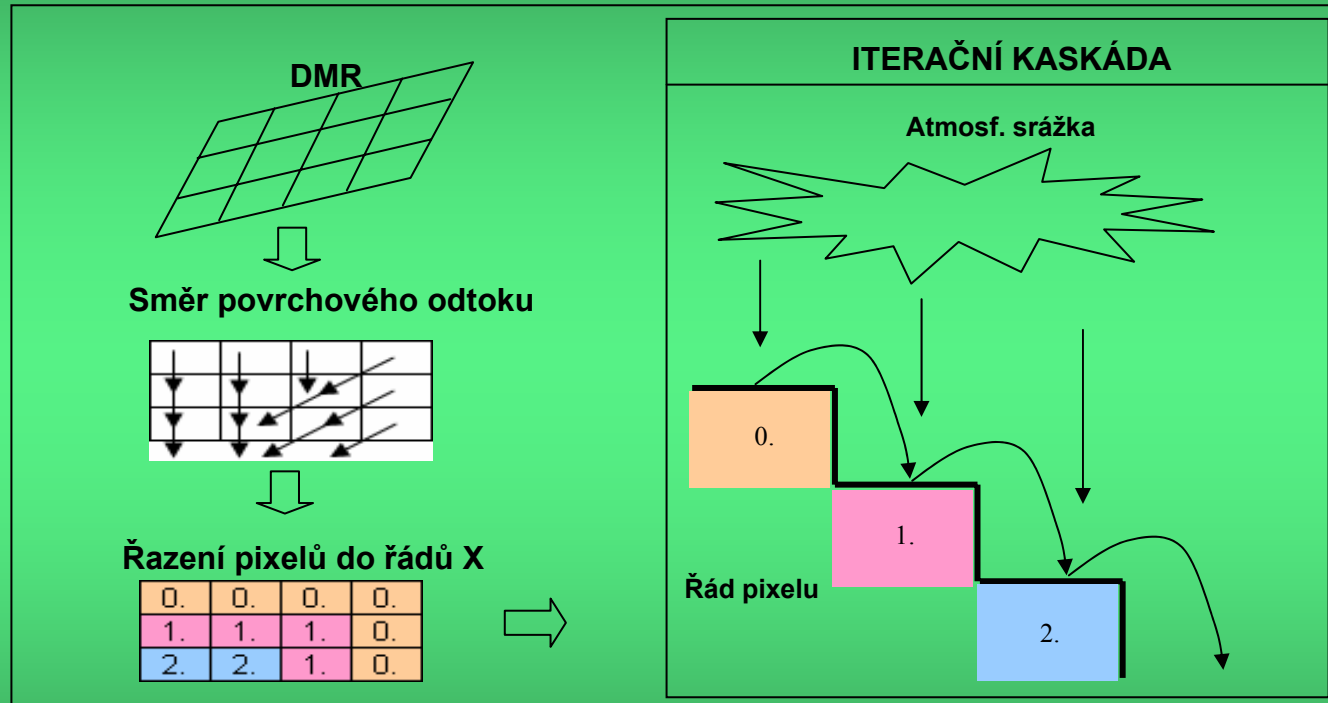
pixel 5x5 m

zachycení přítomnosti a orientace liniiových prvků

Vytvoření iteračního řádu

Potřeba roztrždit celé povodí do iteračního řádu

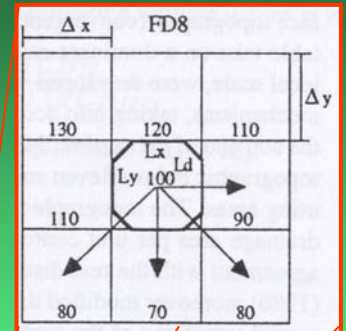
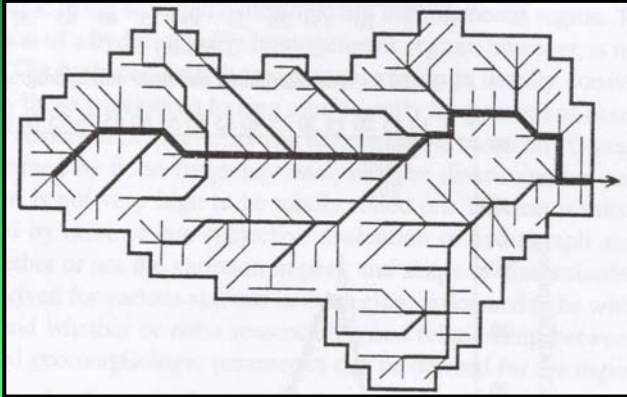
Kombinace směru a délky odtoku (*Flowlength*)



Stanovení všech lokálních topografických maxim v povodí
Stanovení dráhy povrchového odtoku (směr a délka)

Iterační řád = $\frac{\text{vzdálenost od příslušného topografického maxima}}{\text{šířka pixelu}}$

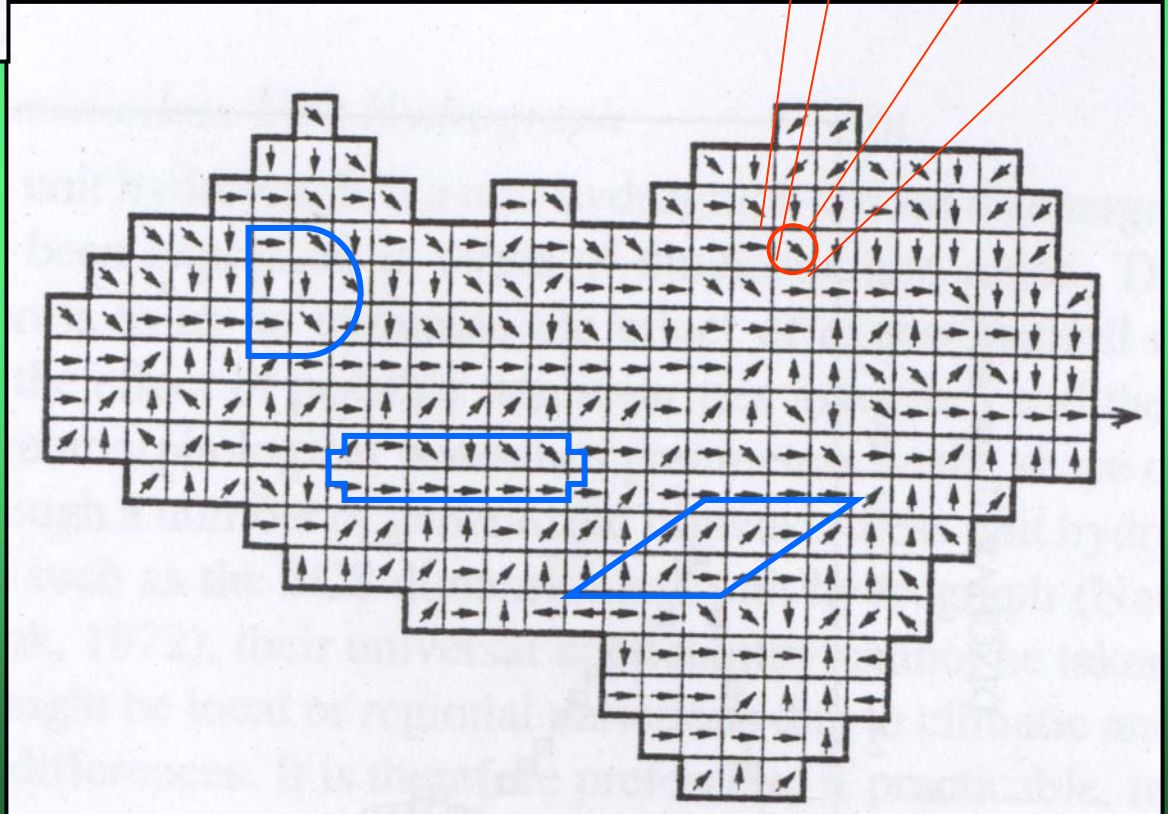
Vyjádření krajinných segmentů



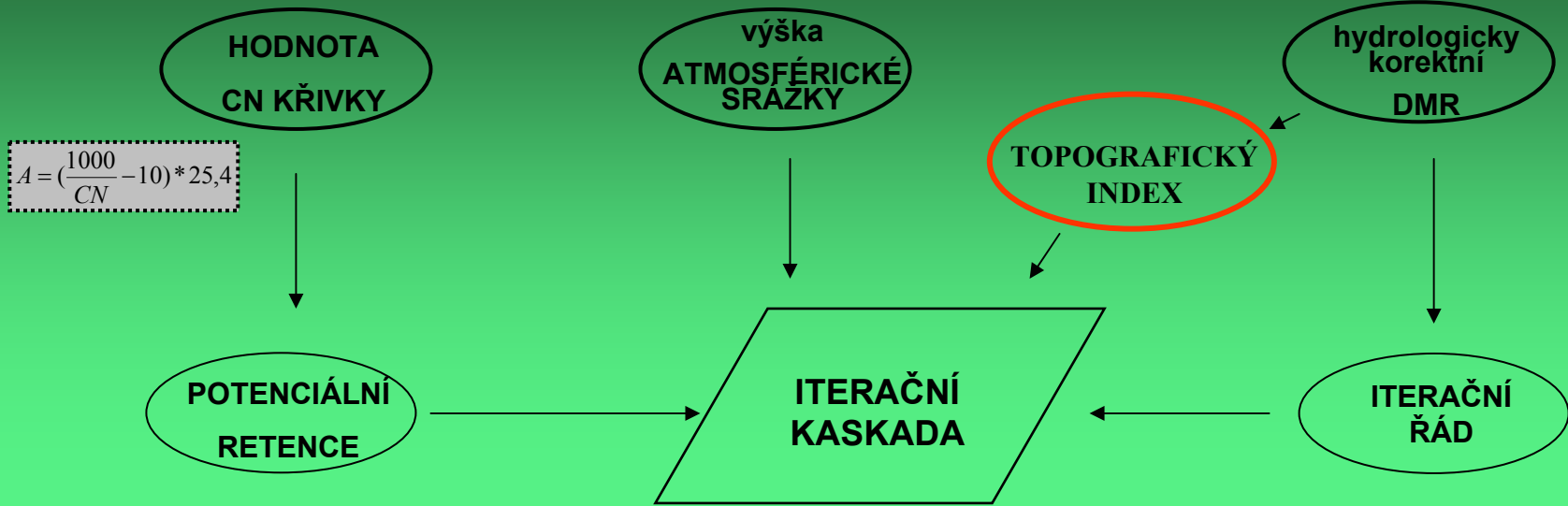
Rastrová reprezentace prvků

= výskyt vyjádřen přítomností
či absencí v pravidelné síti
pokrývající celé území

plocha, délka, orientace
modifikují způsob vykreslení



Stanovení objemu přímého odtoku



Rutina je složena z N iterací, kde N = počet řádů pixelů.

V každé iteraci je vypočítána výška přímého odtoku H_{O_X} pro pixely X-tého řádu

$$H_{O_X} = \frac{((H_{S_X} + H_{P_X}) - 0,2 * A)^2}{(H_{S_X} + H_{P_X}) + 0,8 * A}$$

kde A ... je potenciální retence plošné jednotky 1 pixelu v mm
 H_{O_X} ... je výška přímého odtoku z plošné jednotky 1 pixelu X-tého řádu v mm
 H_{S_X} ... je výška dešťové srážky na plošnou jednotku 1 pixelu X-tého řádu v mm
 H_{P_X} ... je výška přímého přítoku vody v mm z pixelů řádu X-1 v závislosti na směru odtoku

VÝŠKA PŘÍMÉHO
ODTOKU

VSTUPY

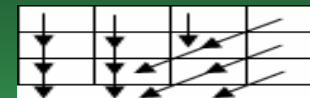
VÝŠKA SRÁŽKY H_s [mm]

| | | | |
|-----|-----|-----|-----|
| 100 | 100 | 100 | 100 |
| 100 | 100 | 100 | 100 |
| 100 | 100 | 100 | 100 |

HODNOTA CN KŘIVEK

| | | | |
|----|----|----|----|
| 98 | 95 | 80 | 80 |
| 95 | 80 | 60 | 60 |
| 80 | 80 | 65 | 65 |

SMĚR POVRCHOVÉHO ODTOKU FD



POTENCIÁLNÍ RETENCE A [mm]

| | | | |
|-----|----|-----|-----|
| 5.2 | 13 | 64 | 64 |
| 13 | 64 | 169 | 169 |
| 64 | 64 | 137 | 137 |

ŘAZENÍ PIXELŮ DO ŘÁDU X

| | | | |
|----|----|----|----|
| 0. | 0. | 0. | 0. |
| 1. | 1. | 1. | 0. |
| 2. | 2. | 1. | 0. |

ITERAČNÍ KASKÁDA

1. ITERACE
(pixely 0. řádu)

VÝŠKA SRÁŽKY H_s [mm]

| | | | |
|-----|-----|-----|-----|
| 100 | 100 | 100 | 100 |
| | | | 100 |
| | | | 100 |

VÝŠKA PŘÍTOKU Z PIXELŮ
VYŠŠÍHO ŘÁDU H_{p_0} [mm]

| | | | |
|---|---|---|---|
| 0 | 0 | 0 | 0 |
| | | | 0 |
| | | | 0 |

VÝŠKA ODTOKU Z PIXELŮ
0. ŘÁDU H_{o_0} [mm]

| | | | |
|----|----|----|----|
| 94 | 86 | 51 | 51 |
| | | | 19 |
| | | | 25 |

2. ITERACE
(pixely 1. řádu)

VÝŠKA SRÁŽKY H_s [mm]

| | | | |
|-----|-----|-----|--|
| 100 | 100 | 100 | |
| | | 100 | |
| | | | |

VÝŠKA PŘÍTOKU Z PIXELŮ
0. ŘÁDU H_{p_1} [mm]

| | | | |
|----|----|----|--|
| 94 | 86 | 10 | |
| | | 19 | |
| | | | |

VÝŠKA ODTOKU Z PIXELŮ
1. ŘÁDU H_{o_1} [mm]

| | | | |
|-----|-----|----|--|
| 179 | 126 | 83 | |
| | | 36 | |
| | | | |

3. ITERACE
(pixely 2. řádu)

VÝŠKA SRÁŽKY H_s [mm]

| | | | |
|-----|-----|--|--|
| | | | |
| | | | |
| 100 | 100 | | |

VÝŠKA PŘÍTOKU Z PIXELŮ
1. ŘÁDU H_{p_2} [mm]

| | | | |
|-----|----|--|--|
| | | | |
| | | | |
| 179 | 20 | | |

VÝŠKA ODTOKU Z PIXELŮ
2. ŘÁDU H_{o_2} [mm]

| | | | |
|-----|-----|--|--|
| | | | |
| | | | |
| 215 | 245 | | |

KUMULOVANÁ VÝŠKA ODTOKU H_{ok} [mm]

| | | | |
|-----|-----|----|----|
| 94 | 86 | 51 | 51 |
| 179 | 126 | 83 | 19 |
| 215 | 245 | 36 | 25 |

VÝSTUP

KUMULOVANÝ OBJEM PŘÍMÉHO ODTOKU O_{pk}

| | | | |
|-----|-----|-----|-----|
| 2.4 | 2.1 | 1.3 | 1.3 |
| 4.5 | 3.2 | 2.1 | 0.5 |
| 5.4 | 6.1 | 0.9 | 0.6 |

Transformace odtokové křivky

Clarkův jednotkový hydrogram

Doba koncentrace

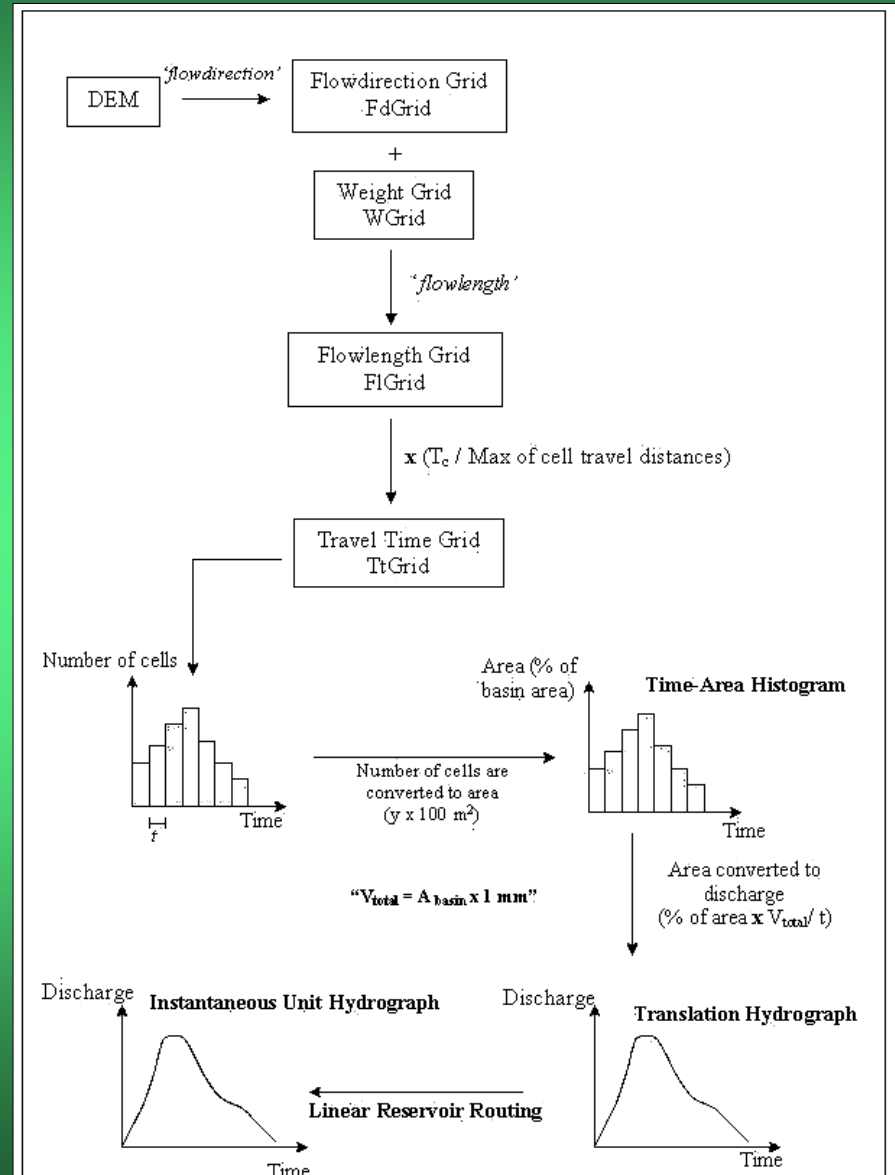
čas, který je potřebný pro odtok z hydraulicky nejvzdálenější bodu v povodí do závěrového profilu povodí.

Transformační faktor

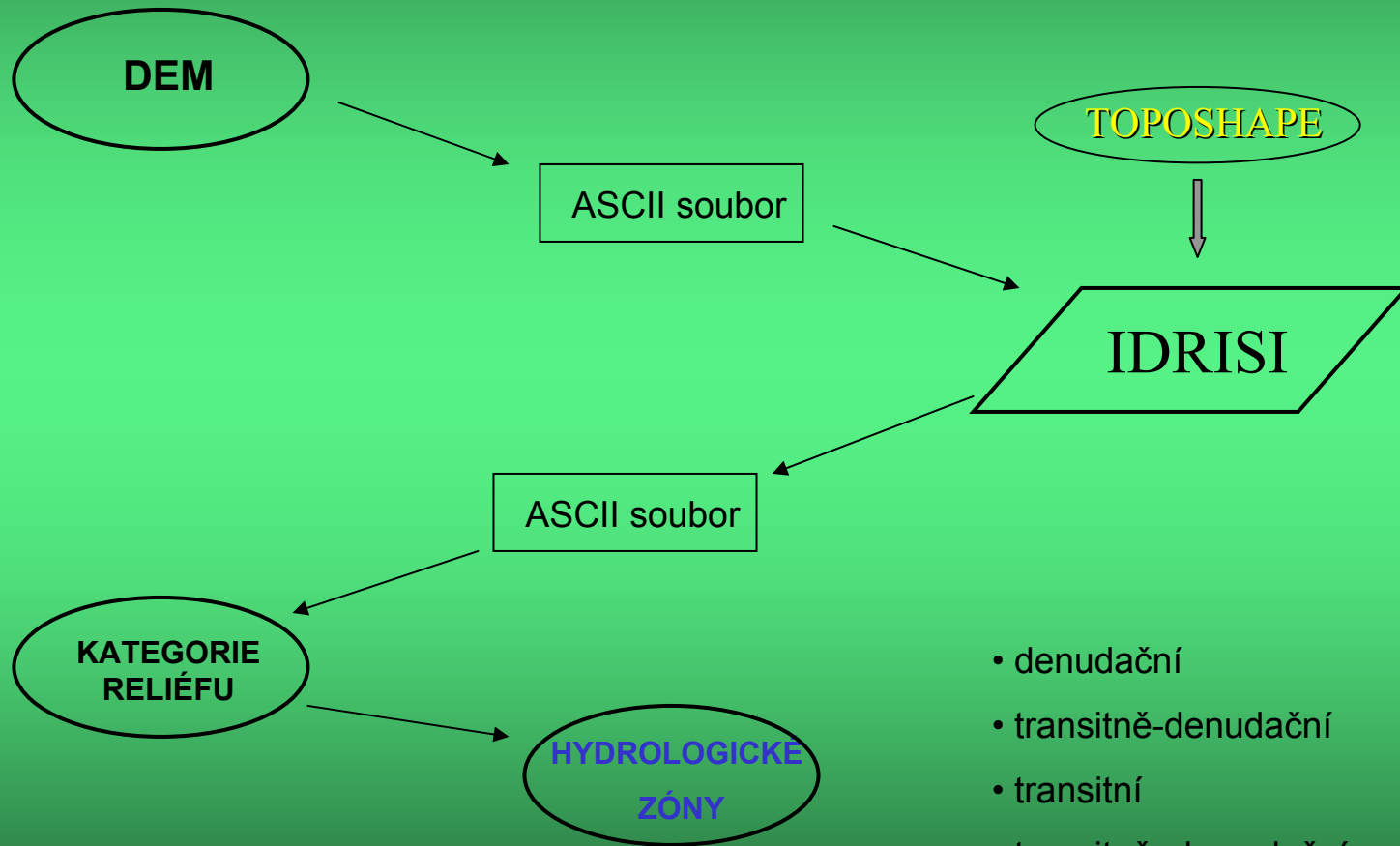
představuje dobu zadržení vody v povodí a je počítán z pozorovaného hydrogramu povodí.

Časo-prostorová křivka (time-area curve)

vyjádření závislost doby dobíhání a velikosti povodí při srážkou zasažené celé ploše povodí.



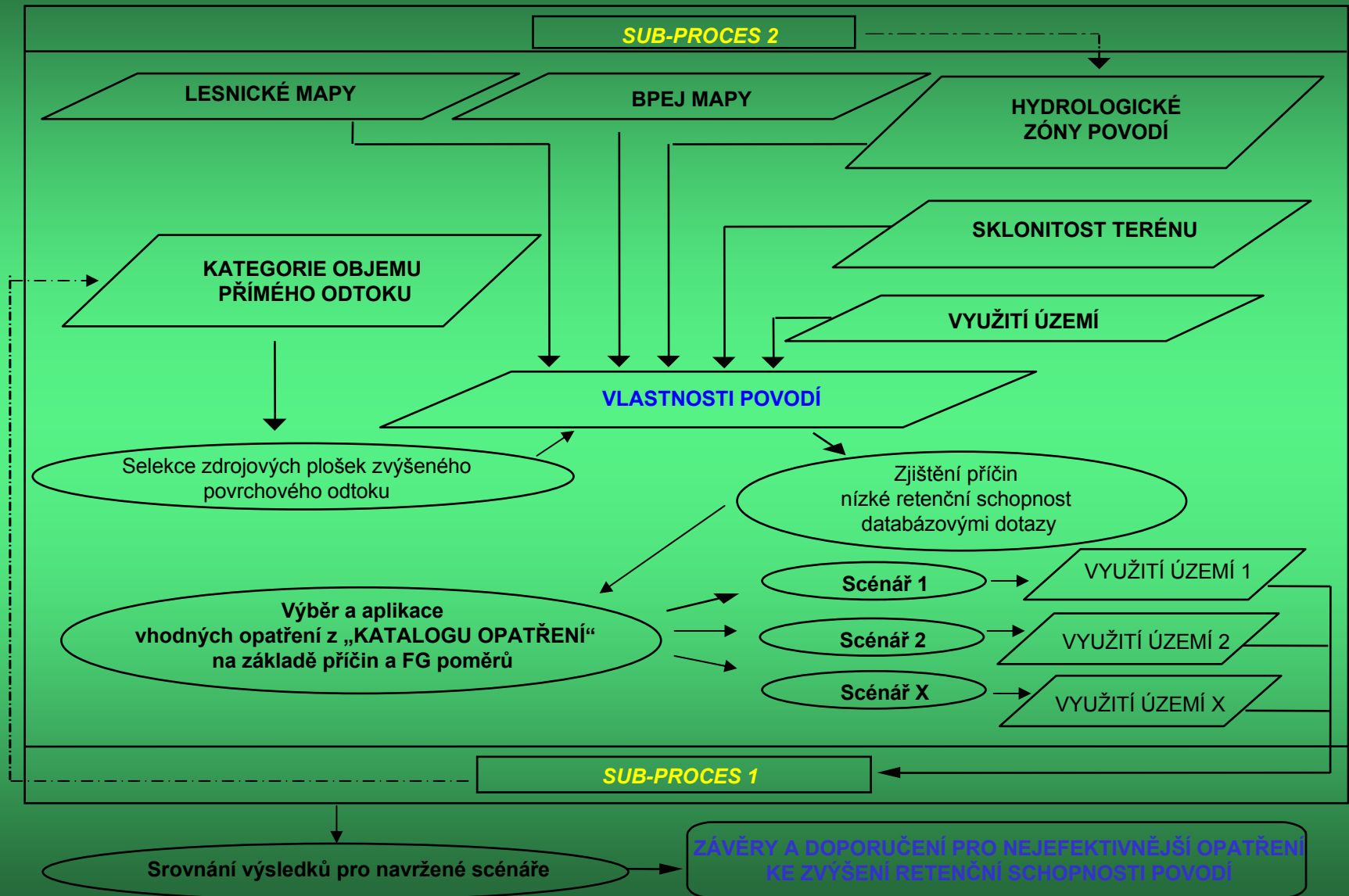
Prostorová specifikace hydrologických zón povodí



- denudační
- transitně-denudační
- transitní
- transitně-akumulační
- akumulární

HLAVNÍ PROCES

Lokalizace a zjištění příčin nízké retenční schopnosti



Katalog opatření pro zvýšení retenční a akumulační schopnosti povodí

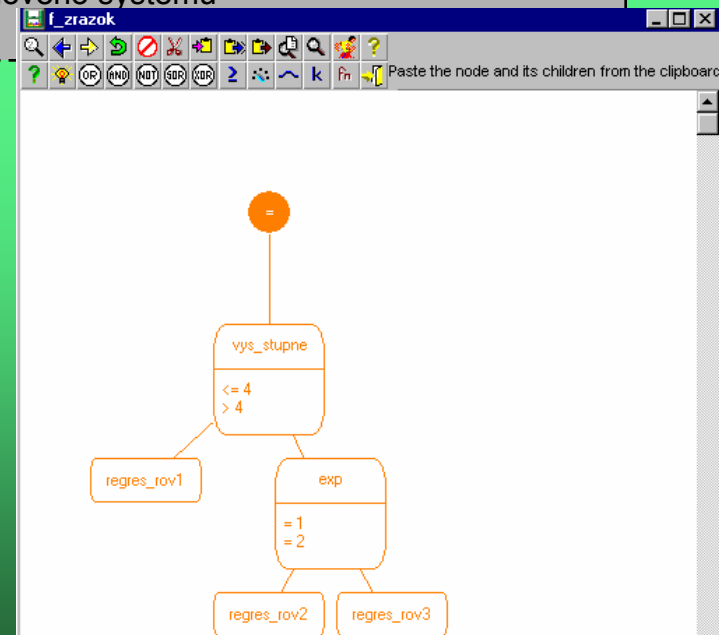
Kvítek, T. a kol. (2001)

- > pokud jsou v infiltrační oblasti mělké půdy a propustné půdy zorněny
přirazujeme opatření **B1** - zalesňování vybraných ploch
B2 - zatravňování vybraných ploch
C11 - změna druhu pozemku
- > pokud jsou půdy středně skeletovité a jsou zorněny,
přirazujeme opatření **B2** -zatravňování vybraných ploch
B3 - systematické provádění pratotechnických zásahů na trvalých travních porostech
B4 - zvýšení hloubky a hustoty kořenového systému
současných travních porostů

EMDS

Ecosystem Managment Decision Support

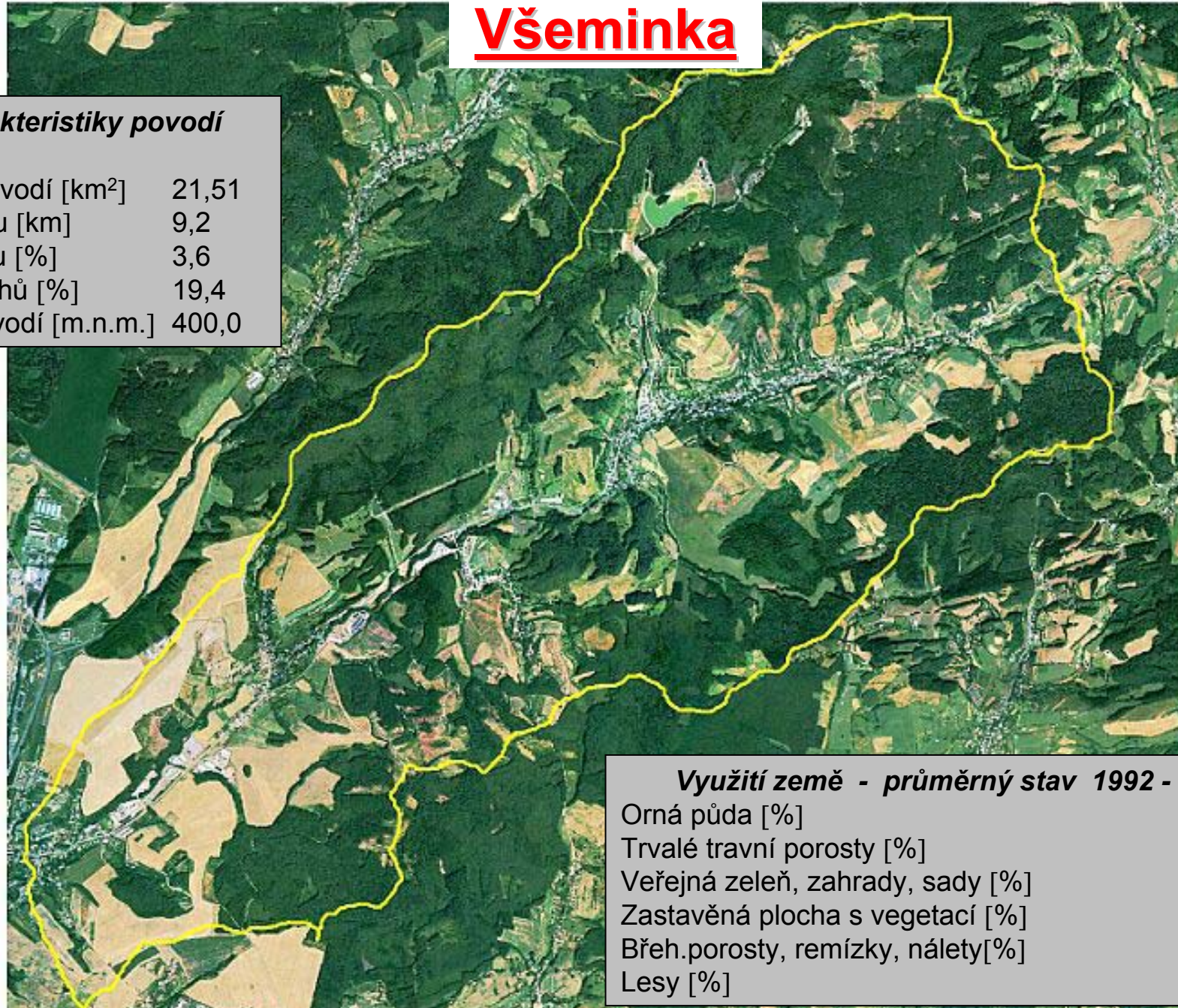
System integruje logickou formální strukturu založenou na rozhodování pomocí báze poznatků a logiky fuzzy množin, využívající prostředí GIS.



Všeminka

Charakteristiky povodí

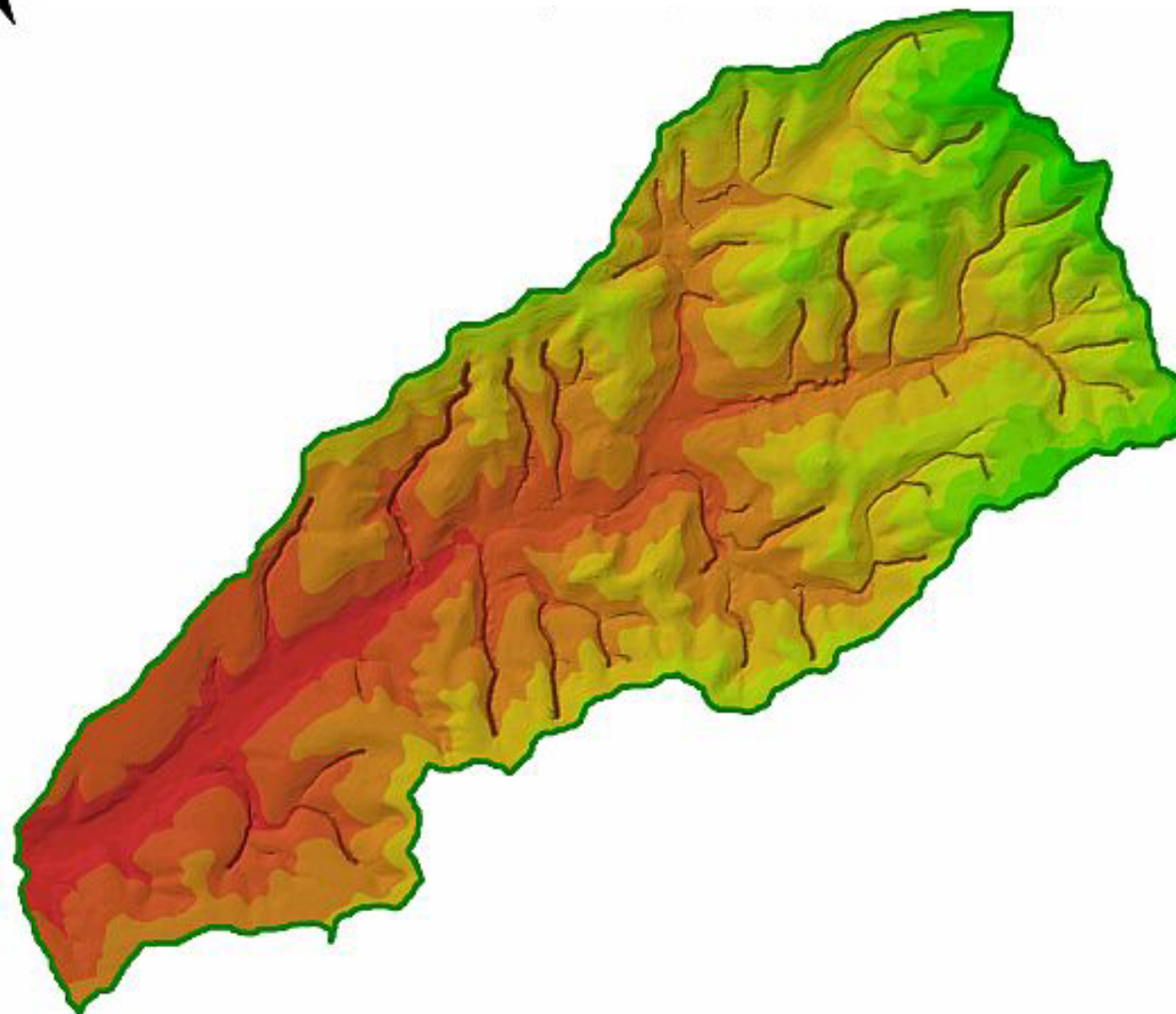
| | |
|----------------------------------|-------|
| Plocha povodí [km ²] | 21,51 |
| Délka toku [km] | 9,2 |
| Sklon toku [%] | 3,6 |
| Sklon svahů [%] | 19,4 |
| Výška povodí [m.n.m.] | 400,0 |



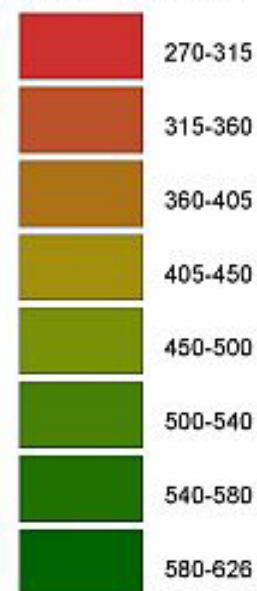
Využití země - průměrný stav 1992 - 97

| | |
|-----------------------------------|------|
| Orná půda [%] | 9,3 |
| Trvalé travní porosty [%] | 24,2 |
| Veřejná zeleň, zahrady, sady [%] | 5,5 |
| Zastavěná plocha s vegetací [%] | 4,3 |
| Břeh.porosty, remízky, nálety [%] | 8,5 |
| Lesy [%] | 48,2 |

Výškové poměry v povodí Všeminky



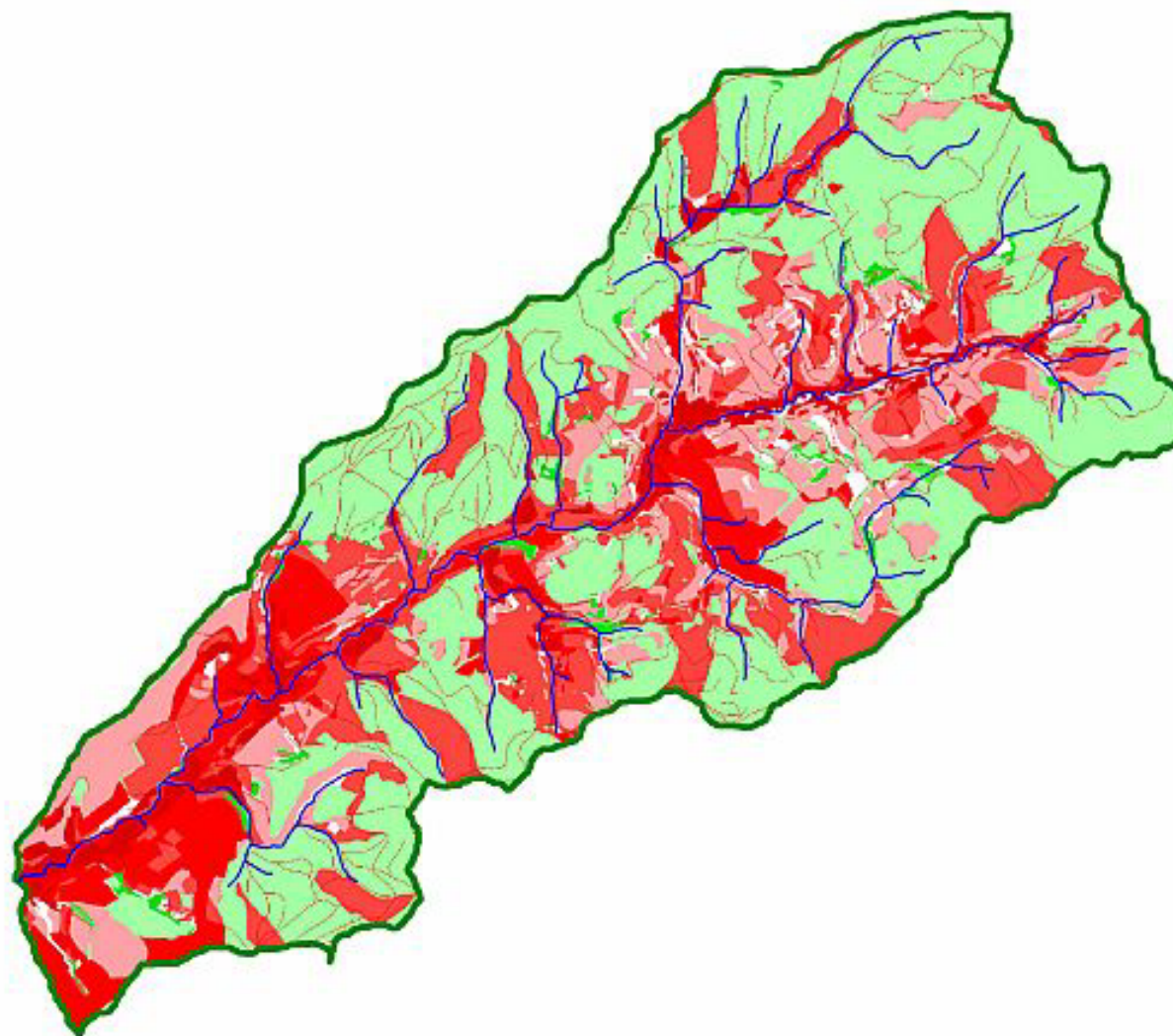
nadm. výška (m n.m)



0 1 2 3 4 5 6 Kilometers



Potenciální retence v povodí Všeminky



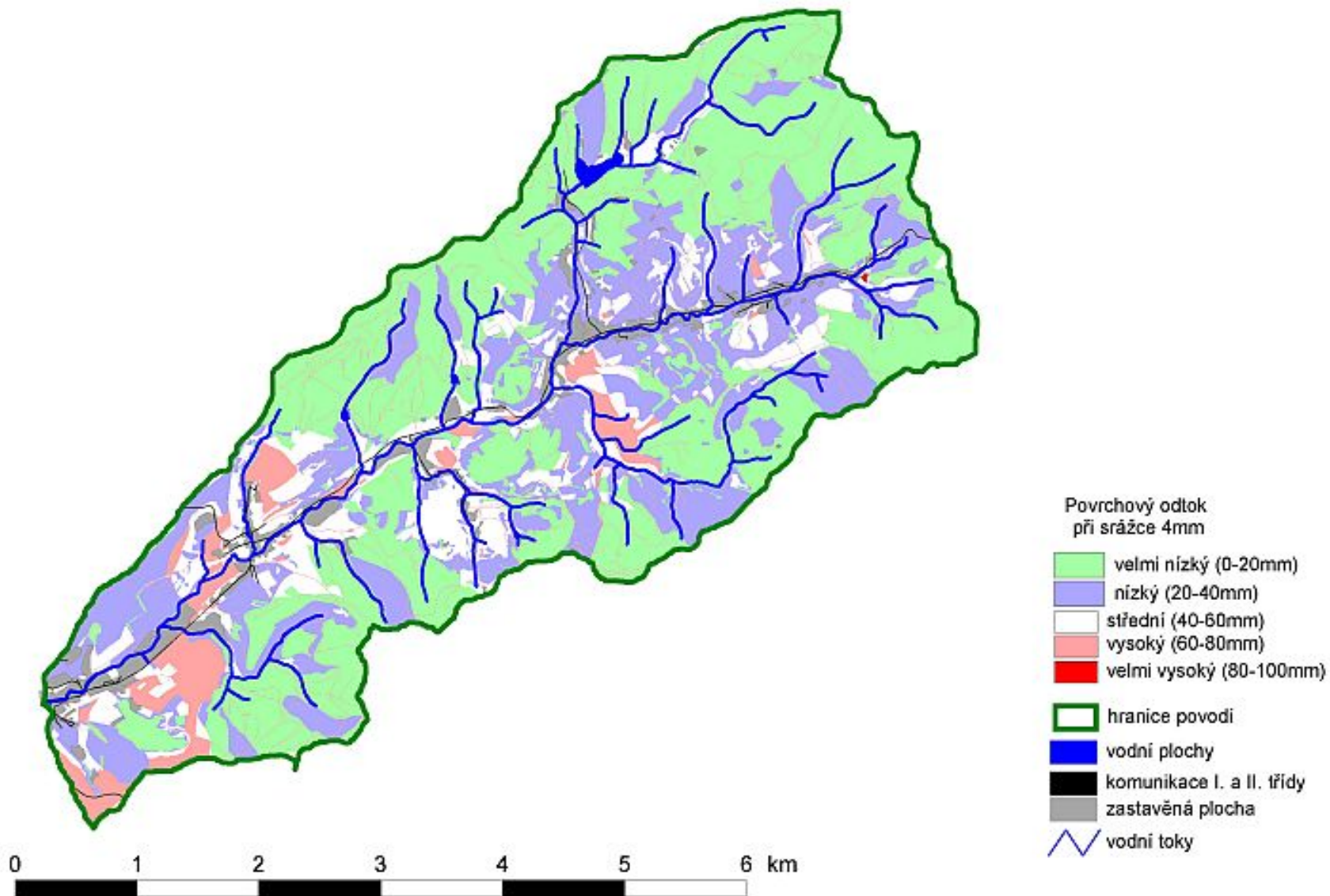
Retence

-  velmi nízká
-  nízká
-  střední
-  vysoká
-  velmi vysoká
-  hranice povodí
-  vodní toky

0 1 2 3 4 5 6 km



Odtokové poměry v povodí Všeminky

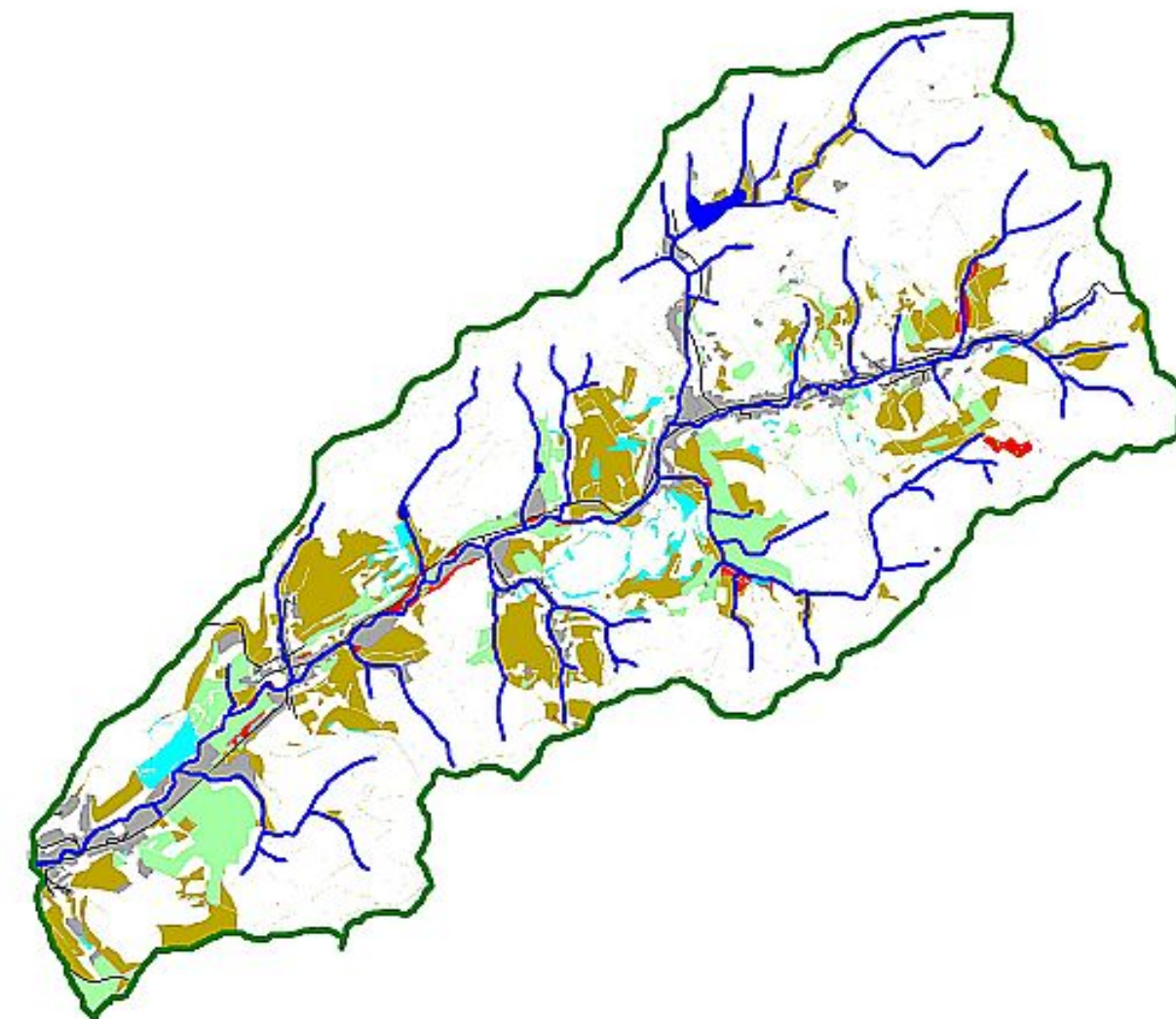


Identifikace míst s velmi vysokým odtokem

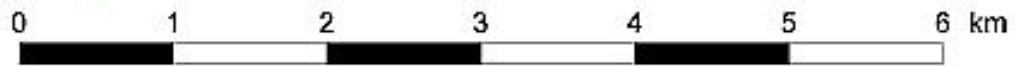
| ID | Zóna povodí | Land-use | Počet px | Výměra (ha) |
|----|------------------------|---------------------|----------|-------------|
| 5 | 1_denudační | orná půda | 18 | 0.045 |
| 10 | 1_denudační | silnice | 3 | 0.008 |
| 18 | 1_denudační | bažina | 201 | 0.503 |
| 19 | 1_denudační | vodoteč | 136 | 0.34 |
| 21 | 1_denudační | vodní plocha | 315 | 0.788 |
| 36 | 1_denudační | účel. zástavba | 4 | 0.01 |
| 41 | 1_denudační | louka, pastvina | 1 | 0.003 |
| 42 | 1_denudační | liniova zelen | 3 | 0.008 |
| 43 | 1_denudační | listnatý les | 1 | 0.003 |
| 6 | 2_tranzitně denudační | vodoteč | 189 | 0.463 |
| 7 | 2_tranzitně denudační | bažina | 183 | 0.458 |
| 9 | 2_tranzitně denudační | orná půda | 50 | 0.125 |
| 12 | 2_tranzitně denudační | účel. zástavba | 31 | 0.078 |
| 15 | 2_tranzitně denudační | silnice | 23 | 0.058 |
| 20 | 2_tranzitně denudační | vodní plocha | 12 | 0.03 |
| 28 | 2_tranzitně denudační | skládka | 1 | 0.003 |
| 35 | 2_tranzitně denudační | louka, pastvina | 2 | 0.005 |
| 38 | 2_tranzitně denudační | polní a lesní cesty | 2 | 0.005 |
| 39 | 2_tranzitně denudační | křoviny | 1 | 0.003 |
| 40 | 2_tranzitně denudační | liniova zelen | 2 | 0.005 |
| 2 | 3_transitní | vodoteč | 132 | 0.33 |
| 4 | 3_transitní | silnice | 49 | 0.123 |
| 8 | 3_transitní | bažina | 252 | 0.63 |
| 13 | 3_transitní | účel. zástavba | 121 | 0.303 |
| 16 | 3_transitní | zástavba | 8 | 0.02 |
| 22 | 3_transitní | orná půda | 80 | 0.2 |
| 23 | 3_transitní | vodní plocha | 3 | 0.008 |
| 33 | 3_transitní | polní a lesní cesty | 1 | 0.003 |
| 3 | 4_transitně akumuláční | vodoteč | 91 | 0.228 |
| 11 | 4_transitně akumuláční | zástavba | 12 | 0.03 |
| 14 | 4_transitně akumuláční | účel. zástavba | 123 | 0.308 |
| 17 | 4_transitně akumuláční | silnice | 42 | 0.105 |
| 24 | 4_transitně akumuláční | orná půda | 14 | 0.035 |
| 26 | 4_transitně akumuláční | vodní plocha | 5 | 0.013 |
| 27 | 4_transitně akumuláční | skládka | 1 | 0.003 |
| 30 | 4_transitně akumuláční | polní a lesní cesty | 1 | 0.003 |
| 31 | 4_transitně akumuláční | louka, pastvina | 1 | 0.003 |
| 37 | 4_transitně akumuláční | bažina | 126 | 0.315 |
| 1 | 5_akumulační | vodoteč | 111 | 0.278 |
| 25 | 5_akumulační | bažina | 318 | 0.795 |
| 29 | 5_akumulační | účel. zástavba | 22 | 0.055 |
| 32 | 5_akumulační | zástavba | 2 | 0.005 |
| 34 | 5_akumulační | silnice | 2 | 0.005 |
| 44 | 5_akumulační | vodní plocha | 1 | 0.003 |



Navržený scénář opatření v povodí Všeminky

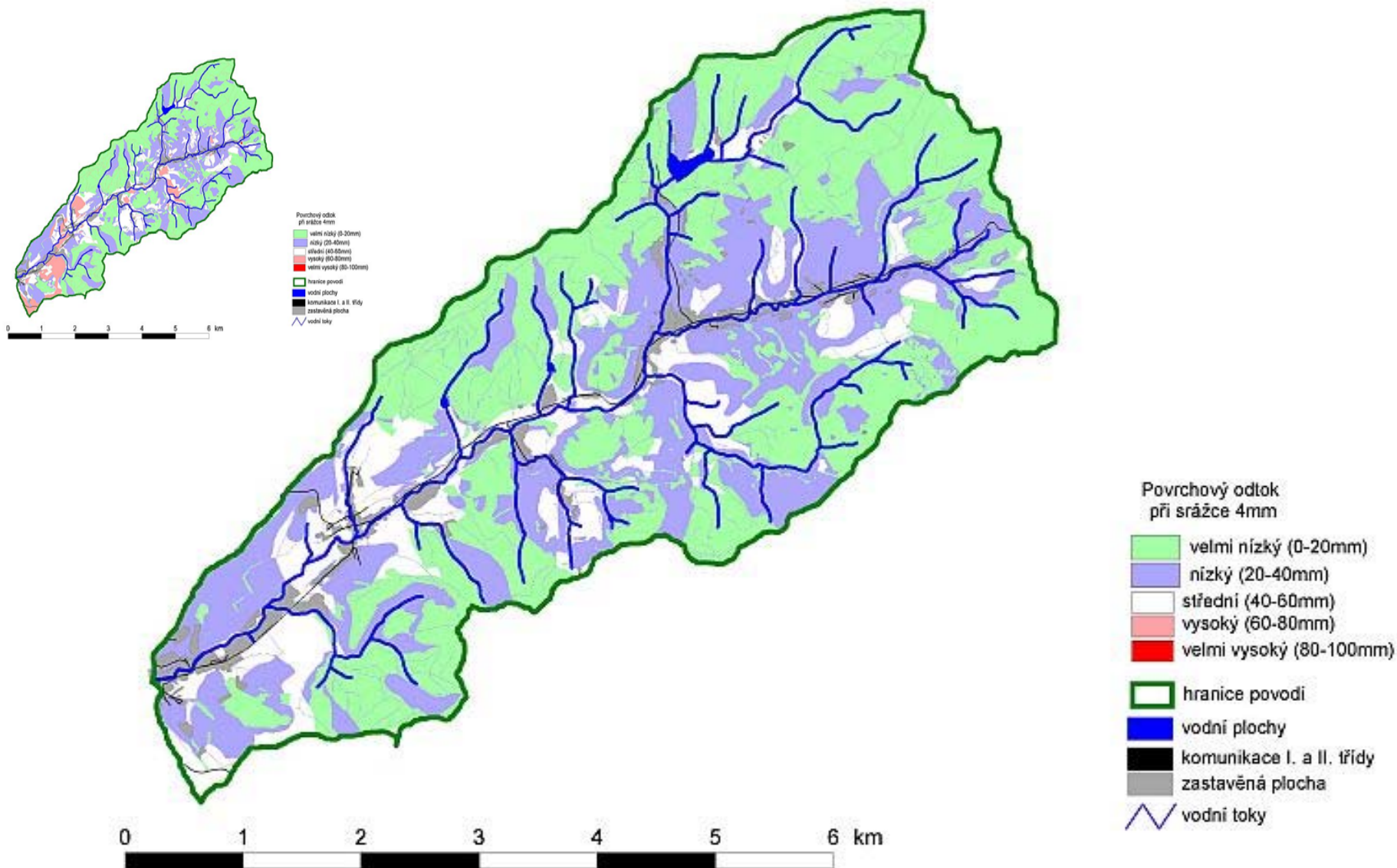


- Navržená opatření
- změna prátotechniky
 - vylepšení druhové struktury
 - zalesnění
 - zatravnění
- hranice povodí
- vodní plochy
- komunikace I. a II. třídy
- zastavěná plocha
- vodní toky





Odtokové poměry v povodí Všeminky po aplikaci scénáře opatření



Plošné výměry kategorií povrchového odtoku

při homogenní celoplošné srážce 4 mm/m²

| No | kategorie | rozsah (mm) | Aktuální stav | | Scénář | |
|----|--------------|-------------|---------------|-------------|----------|-------------|
| | | | počet px | výměra (ha) | počet px | výměra (ha) |
| 1 | velmi nízký | 0 - 20 | 378723 | 946,81 | 390672 | 976,68 |
| 2 | nízký | 20 - 40 | 248047 | 620,12 | 304785 | 761,96 |
| 3 | střední | 40 - 60 | 119447 | 298,62 | 149490 | 373,73 |
| 4 | vysoký | 60 - 80 | 82954 | 207,39 | 8094 | 20,24 |
| 5 | velmi vysoký | 80 - 100 | 26424 | 66,06 | 2566 | 6,42 |

